

### 横ずれ断層運動に伴うせん断帯発達過程 に関するDEMシミュレーション

1産業技術総合研究所 活断層研究センター (〒305-8567 茨城県つくば市東1-1-1)

E-mail: h-saomoto@aist.go.jp, yoshimi.m@aist.go.jp, s.kunimatsu@aist.go.jp

本研究では、横ずれ断層運動に起因して地盤内に生じる三次元的なせん断帯の発達や応力場など、従来行われている模型実験では定量的に把握することが困難である情報を三次元個別要素法を用いて取得することを試みた、結果として、リーデルせん断帯と考えられる一次的せん断帯、これに続く二次的せん断帯の形成までをシミュレートすることに成功し、変位場からせん断帯の三次元的な分布形態を視覚的に明らかにすることができた。同時に、これらのせん断帯が形成された時点での地盤内の応力分布も定量的に把握することができた。

Key Words: Strike Slip Fault, Shear-Band, Discrete Element Simulation

#### 1. はじめに

1999年トルコ・コジャエリ地震,および同年に発生した台湾・集集地震では、断層運動に伴う地表のずれがインフラストラクチャーに大きな被害をもたらした.我が国においても、1891年濃尾地震や1995年兵庫県南部地震などの内陸地震では、断層に伴う地表のずれが数多く確認されている。断層近くの地域では、地震動のみならず、断層運動に伴う表層地盤の変形特性も検討し、設計指針や地域防災に反映させることが必要であり、断層運動に伴う地盤の変形特性を把握するために模型実験が近年広く行われている1)~5).

本研究では、未固結状態にある表層地盤中をどのようにせん断帯が進展し、どのように地表が変状していくのかという素過程を把握することを目的として、三次元個別要素法®を用いて横ずれ断層を対象としたシミュレーションを行い、横ずれによって地盤内に生じるひずみ場および応力場など、実験では得ることが困難である情報の取得を試みた.

#### 2. 横ずれ断層モデルと解析手順

図-1に用いた解析モデルを,表-1に用いた粒子の材料物性をそれぞれ示す.解析モデルは約26万個の等径球形粒子からなっており,サイズはx方向,y方向,z方向にそれぞれ100m,50m,30mである.

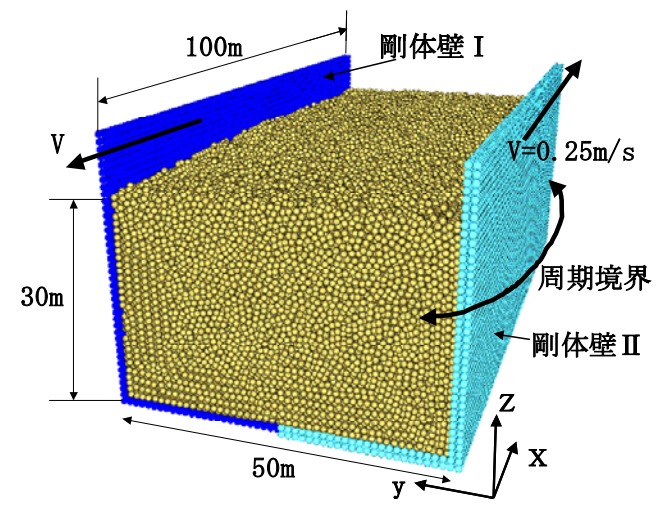


図 - 1 横ずれ断層モデル

表 - 1 粒子の材料物性

密度	$2620 \text{ kg/m}^3$
粒子径	0.96 m
法線方向バネ定数	10 MN/m
接線方向バネ定数	2.5 MN/m
減衰定数(法線,接線方向)	0.30
粒子間摩擦角	26 度

立方格子状に静止させた粒子にランダムな初速を 与え,重力によりパッキングを行って作成した. このとき摩擦を無効にして, できる限り密に詰め る工夫をしており、初期間隙比は0.40である. ま た, 粒子集合材料としての内部摩擦角は, ピーク 強度時で平均的に約32度、残留強度時で平均的に 約25度である(付録を参照されたい). x 方向境界 については周期境界条件を課しており, 紙面奥行 方向には半無限となる. y 方向境界はx 方向のみ にスライド可能な剛体壁である.

数値解析はスライド可能な剛体壁ⅠおよびⅡに ついて, x 方向にそれぞれ±0.25m/s の速度で強制 変位を与え, 左横ずれを生じさせる. ここでは, 時間刻みを $1\times10^{-4}$  秒とし、40万ステップの計算を 行ってそれぞれの剛壁を10mずつ変位させ、相対 的に20mのずれを生じるまで計算した.

#### 3. 解析結果と考察

#### (1) 剛体壁に作用する平均的なせん断応力と地表 における変形

剛体壁に与えた強制変位をy方向のモデル長で除 した工学ひずみγ<sub>xx</sub>を横軸に、剛体壁に作用する平 均的なせん断応力  $\sigma_{vx}$ を縦軸にとってプロットした ものが**図-2**である.  $\gamma_{vx} = 0.08$ で双方の壁に作用す るせん断応力はピークを迎え, その後ひずみが大 きくなるとともに残留強度に遷移している. ピー ク時おける地表の変形状態を鳥瞰図として示した ものが図-3であるが、地表に描いた正方格子の変 形から, 地表はほぼ一様にせん断変形しているこ とがわかる.

この直後に、図-3の右上から左下にかけて、リ ーデルせん断帯と考えられる一次的せん断帯が直 線状に一気に形成される.  $\gamma_{vx}$ が0.20付近までこの せん断帯付近に変形が局所化し、せん断帯が図-4 に示すように顕在化する. 大まかに読み取った一 次的せん断帯の走向(図中の赤線)は、主せん断方 向(x軸方向)から約15度の傾きを有しており、 Tchalenko<sup>7)</sup>の実験で得られている走向と整合的で ある.

γ<sub>xx</sub>が0.30付近に至るまでは, x方向の境界付近, y方向中央1/3の領域(図-4の白線で囲んだ領域) では格子はあまりせん断変形せずに少し紙面手前 側に盛り上がり,変形はこの領域を避けるように 進展する. また, この時点では一次的せん断帯に 沿うせん断変形はほとんど見られない.

γ<sub>xx</sub>が0.30を超えた時点では、上述のせん断変形 が促進されない領域の端部付近から, 主せん断方 向とほぼ平行に二次的なせん断帯が生成されはじ め,一次的せん断帯を放棄して,この二次的せん 断帯付近に変形が局所化する. また, 二次的せん 断帯は壁面に作用する応力の低下を招いている (図-2, γ<sub>vx</sub> =0.32). 小山・谷の実験<sup>2)</sup>では, 二次 的なせん断帯(低角リーデル, Pせん断)はリーデル

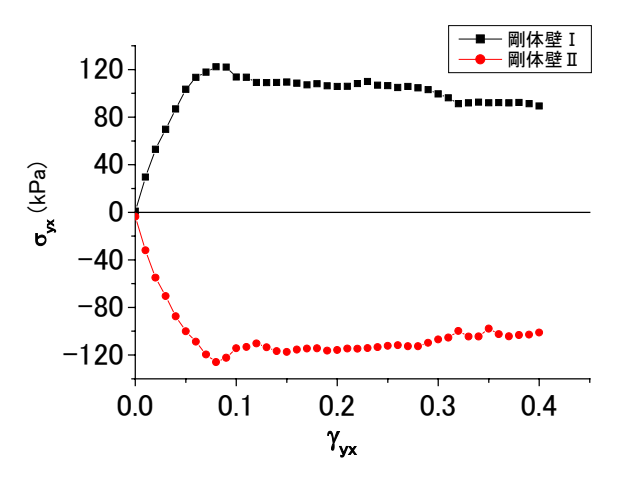
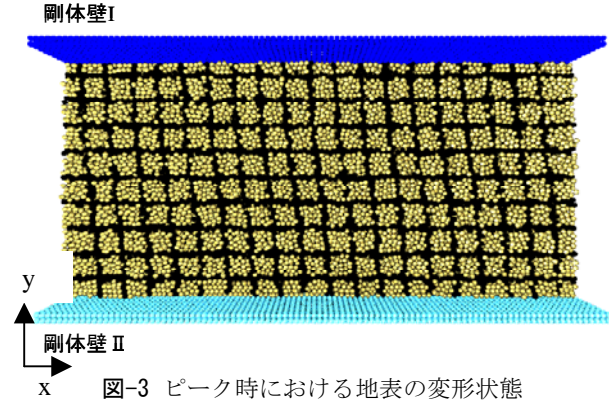


図-2 壁面に作用する平均的なせん断応力



## 剛体壁I 約15度

図-4 リーデルせん断帯の卓越 ( $\gamma_{vr}$ =0.20)

# 剛体壁I 剛体壁Ⅱ

図-5 二次的なせん断帯の卓越( $\gamma_{yx}$ =0.40)

せん断帯が出現する変位量の $1.5\sim2.3$ 倍程度で現れると報告されている。本解析でも、同程度の変位量で二次的なせん断帯が出現していること、および一次的せん断帯と比べて地表面で観察される傾斜センスが僅かに逆であることから、本解析における二次的せん断帯は小山・谷の実験におけるPせん断帯に相当していると考えられる。図-5は $\gamma_{yx}$ =0.40(本解析での最終状態)での変形状態を示しているが、主せん断方向にほぼ平行なせん断帯(白線で囲んだ領域)が明瞭に見て取れる。

以上、剛体壁に作用している平均的なせん断応力と地表の変形状態を示してきたが、今回用いたモデルでは、地表面の変形は基盤の断層線直上からy方向に±約10m(粒子径の約10倍)の範囲内に収まっている。次にモデル内部に生じるひずみ、および応力について述べる。

#### (2) モデル内部におけるひずみ分布

モデル内部に変位 $\mathbf{u}$  (参照フレームは初期状態) の評価点を $\mathbf{x}$ ,  $\mathbf{y}$ ,  $\mathbf{z}$  の各方向に $\mathbf{0}$ . 5mずつずらして立 方格子状に約110万点設け,各評価点近くに存在する粒子の変位ベクトルの算術平均を評価点にマッピングし,これらの空間勾配を用いて式( $\mathbf{1}$ )にしたがってひずみ $\mathbf{\epsilon}$  を求めた.ただし,変位の平均は,評価点を中心とする1辺の長さが $\mathbf{4m}$ の立方体内で行っている.

$$\varepsilon_{ij} = \frac{1}{2} \left( \frac{\partial u_i}{\partial x_j} + \frac{\partial u_j}{\partial x_i} \right)$$
 (1) 
$$(i, j = x, y, z)$$

帯の形態を把握するために、図-2のせん断応力ピーク時( $\gamma_{yx}$ =0.08)においてひずみ  $\epsilon_{yx}$ の絶対値をとり、z方向に沿ってxy面内分布を示すこととした。図-6から図-8は壁面応力ピーク時の、z=0,7,14mの各高さにおける xy面内のひずみ成分  $\epsilon_{yx}$ の分布を示している。モデル底面(図-6)においては、ほぼ主せん断方向に沿って強いせん断領域が存在している。ところが、底面から7m離れたxy平面内では、面の中心を軸として、プロペラのようにくびれた、強いせん断領域が現れる(図-7)。地表に近づくにつれて、急激なせん断領域の折れ曲がりは平滑化され、せん断領域が直線的に配向する(図-8)。この直線的なせん断領域が、地表で観察された一次的せん断

まず、リーデルせん断帯と考えられる一次的せん断

次いで、強いせん断を受ける領域の三次元的な分布形態を把握する。 図-9に $|\epsilon_{yx}|=0.10$  および0.20 の等値面を示す。強いせん断領域はx, y, zの各方向について、複雑に変化している様子が見て取れる. ひずみ0.10の等値面は、0.20の等値面を平滑化して全体に膨張させた形状をしており、基盤の断層線と交差するあたりでは、上方に卓越して発達している

帯へと発達する.

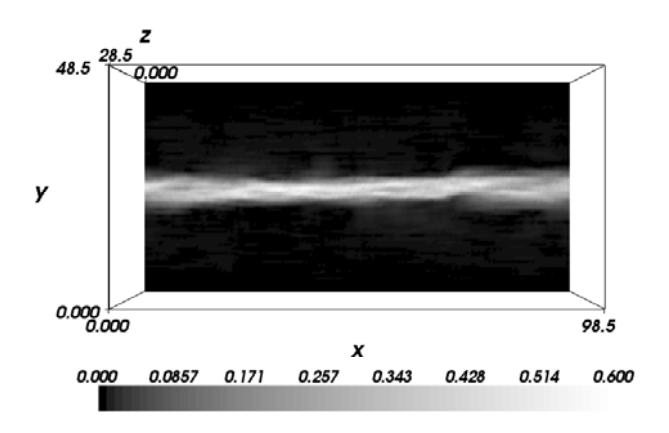


図-6 壁面応力ピーク時  $|\mathcal{E}_{vx}|$ , モデル底面

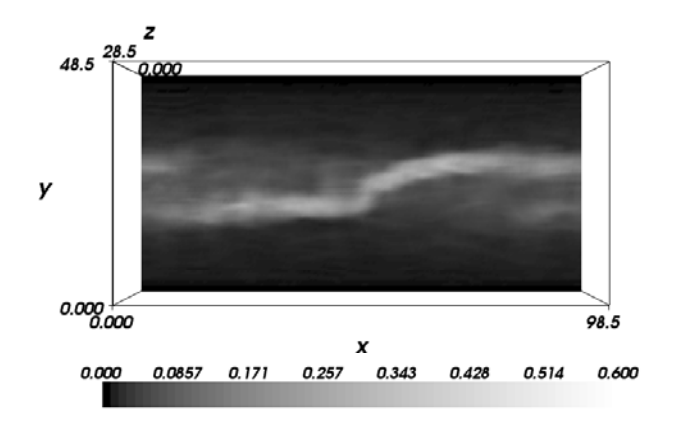


図-7 壁面応力ピーク時  $|\mathcal{E}_{vx}|$ , z=7m

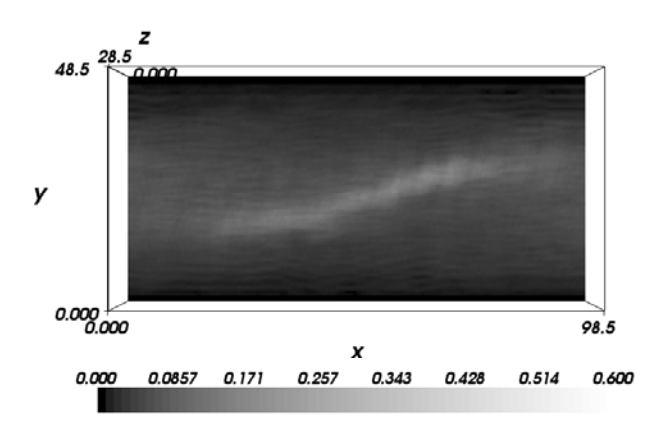


図-8 壁面応力ピーク時  $|\mathcal{E}_{yx}|$ , z=14m

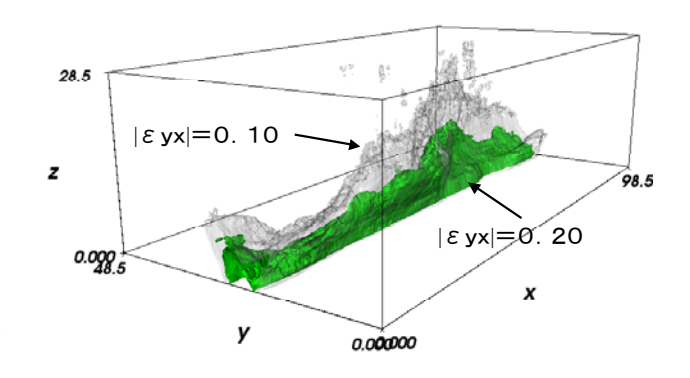


図-9 壁面応力ピーク時  $|\mathcal{E}_{vx}|$ =0.10, 0.20

のが特徴的である(紙面のみで把握しづらい場合は,結論にあるURLを併せて参照されたい).このような分布形態は、谷・小山の横ずれ断層の模型実験<sup>3)</sup>でX線CTにより観察された「結合捩りせん断帯」に対応していると考えられる.

壁面せん断応力がピークを超え、せん断が進むにつれてひずみの分布は図-9で示した等値面が高角度で基盤の断層線から地表に平面的に伸び、深さ方向の捩れは壁面応力ピーク時に比べて弱くなる. 最終的には、地表の変形で見られた二次的せん断帯が促進されない領域を、放棄された一次的せん断帯とともに取り囲むように対場合は、結論にあるURLを併せて参照されたいり. また、この等値面はx方向に沿って緩やかに蛇行い場合は、結論にあるURLを併せて参照されたいり. また、この等値面はx方向に沿って緩やかに蛇行いまた、この等値面はx方向に沿って緩やかに蛇行いながら、z方向について下に凸となる. 解析モデルの東長が短いため、モデルのx方向端部で粒子が、周期長が短いため、モデルのx方向端部で粒子がの領域に比べて大きくなり、この領域を避けるよっに、次的せん断帯が生成されたと考えられる.

#### (3) モデル内部における応力分布

応力 $\tau$ はひずみと同様にモデル内部に評価点を設け、評価点を中心とする代表体積Vの内部に存在する全ての粒子について、式(2)を適用することにより求めた.

$$\tau_{ij} = \frac{1}{V} \sum_{k} F_{j}^{(k)} B_{i}^{(k)} \tag{2}$$

(i, j = x,y,z)

ここで、kは粒子の接触点を、Fは接触力を、Bは粒子中心間を結ぶベクトルをそれぞれ表している。また、代表体積要素として、ひずみの算出を行った際に用いた立方体を採用している。

まず、せん断応力レベルに関する議論の見通しを 良くするため、モデル内の応力評価点全点を対象と して、偏差応力の第二不変量J<sub>2</sub>の平方根をとった値  $(J_2)^{1/2}$ のヒストグラムを**図-11**に示す. ここでは工学 ひずみ $\gamma_{vv}$  =0.08(壁面応力ピーク時)における, (J, )<sup>1/2</sup>のヒストグラムを示しており、平均値は 461 kPa である.  $\gamma_{yx}$  =0.08 時点において,  $(J_2)$ )<sup>1/2</sup>=922kPa(平均値の2倍)の等値面を,一次的せん 断帯( $|\epsilon_{vx}|=0.10$ )とともに図-12に示しているが、一 次的せん断帯が基盤の断層線と交差する箇所では, 等値面は不連続(922kPaよりも小さい)となっており、 せん断帯がちょうどこの領域に収まっていることが わかる(紙面のみで把握しづらい場合は、結論にあ るURLを併せて参照されたい). この領域における (J<sub>2</sub>)<sup>1/2</sup>はおよそ600kPa程度(等値面の不連続が消失す る)となっており、平均値の1.3倍程度の強度を有し ている.

次に図-4で観察された、せん断変形が促進されな

い領域の拘束圧と鉛直方向変位について検討する.

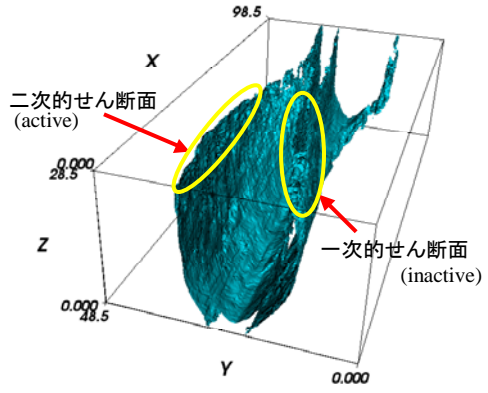


図-10 計算終了時  $|\mathcal{E}_{w}|$ =0.60 の等値面

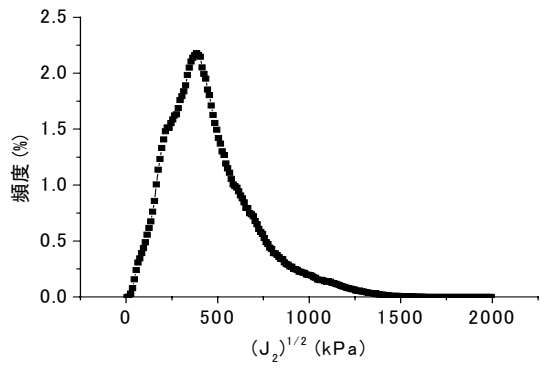


図-11  $(J_2)^{1/2}$ のヒストグラム  $(\gamma_{yx}$ =0.08)

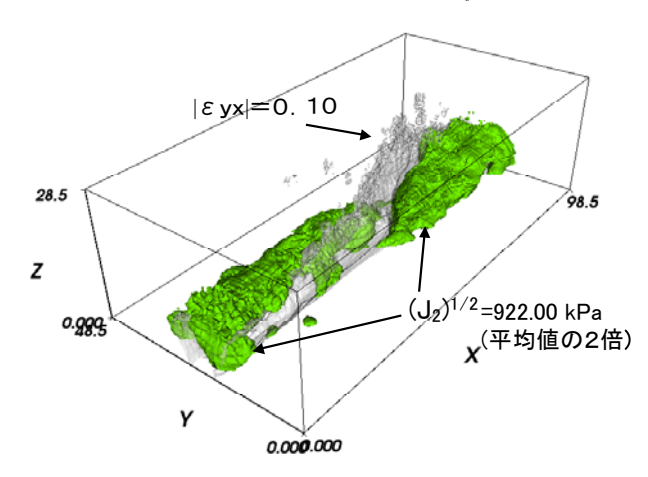


図-12  $(J_2)^{1/2}$ =922 kPa(平均値の 2 倍) の等値面 (壁面応力ピーク時  $\gamma_{vr}$ =0.08)

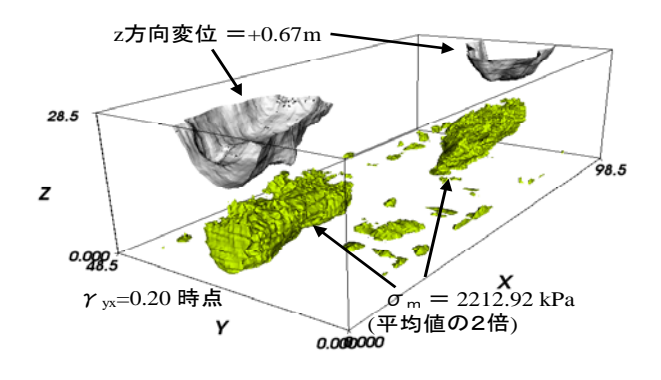


図-13  $\sigma_m$ =2213 kPa(平均値の 2 倍) の等値面と z 方向変位=+0.67m(粒径の 0.70 倍)の等値面

前述の偏差応力の第二不変量と同様に,まず平均応力  $\sigma_m$ (=  $\sigma_{ii}$ /3)に関するヒストグラムを求め  $\gamma_{yx}$  =0.20の時点に対して平均値1115 kPa を得た. 図-13 には,  $\gamma_{yx}$  =0.20 時点における,平均応力が2213kPa(平均値の2倍)の等値面と,z方向変位が+0.67m(粒径の0.70倍)の等値面をあわせて示している(紙面のみで把握しづらい場合は,結論にあるURLを併せて参照されたい). 平均応力の等値面のほぼ直上に隆起を示す変位の等値面が配置されていることから,  $\gamma_{yx}$  =0.20の時点において,これらは対応していると考えられる. また,隆起は地表面に近いほど大きい.このことは,地表面での拘束が零であることから,地表面に近いほど良く盛り上がると理解できる.

一方で、沈降している領域も存在しており、沈降領域はリーデルせん断帯付近に集中している(沈降量は $0.30\sim0.6$ m程度)。例えば $\gamma_{yx}=0.20$ の時点で、沈降量が0.5mである領域は、 $z=8\sim21$ mの高さにあるxy平面内に分布している。図-14には、z=8mの位置における平均応力のxy面内分布(単位はkPa)を示しているが、一次的せん断帯付近の平均応力がかなり小さいことがわかる。すなわち、一次的せん断帯付近では、拘束圧が小さく、この領域でモデル底面の境界から与えられる断層運動に伴って伸張に近い状態となり、沈降が生じていると解釈できる。

最後に, 二次的せん断帯が発現したために生じた 応力の変化を示す. 二次的せん断面の発現時点は 図-2において、 $\gamma_{vx}$ =0.30付近であることは読み取 れるが、より正確にモデル内の応力分布状態から検 討する. 横軸に $\gamma_{vx}$ を、縦軸に各時点でのモデル内 (J<sub>2</sub>)<sup>1/2</sup>のヒストグラムから得られる平均値をとって プロットしたものが、図-15である.この図から、 二次的なせん断帯は, γ<sub>vx</sub> =0.28から現れはじめた と考えられる.  $\gamma_{vx}$  =0.40 時点での $(J_2)^{1/2}$ 分布から  $\gamma_{vx}$  =0.28 時点での $(J_2)^{1/2}$ 分布を差し引くことによ り, 応力の変化を検討する. 結果, 全応力評価点の うち, 66.6%の評価点で $(J_2)^{1/2}$ の値が下がっていた. 最大降下量は1118kPaで、(x,y,z)=(37.5, 29.5, 10.5)の 位置で検出された.一方,(J<sub>2</sub>)<sup>1/2</sup>の最大上昇量は, (x,y,z)=(34.5, 32.5, 7.0)の位置で736kPaであった. 次的なせん断帯の形成により、 $(J_2)^{1/2}$ が降下した領 域の一例を図-16にしているが、600kPa降下した領 域が、300kPa降下した領域内に位置していることが わかる(紙面のみで把握しづらい場合は、結論にあ るURLを併せて参照されたい). また,これらの領 域の位置は、ひずみ場から観察された二次的なせん 断帯の位置と整合的である.

#### 4. 結論と今後の課題

横ずれ断層を対象として,三次元個別要素法を用いてシミュレーションを行い,解析モデルに生じる ひずみ場および応力場を取得した.せん断帯の形成

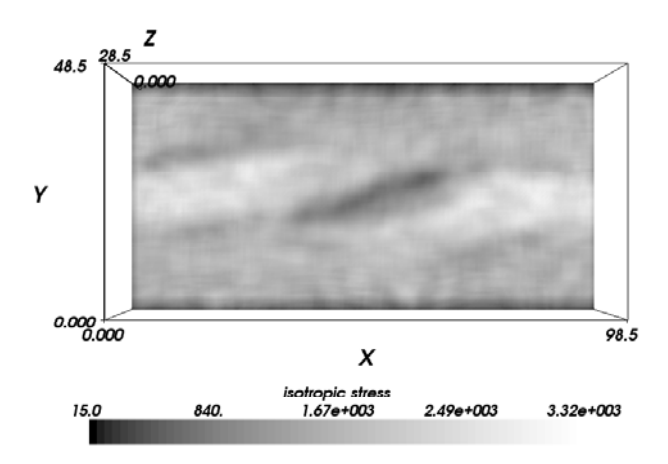
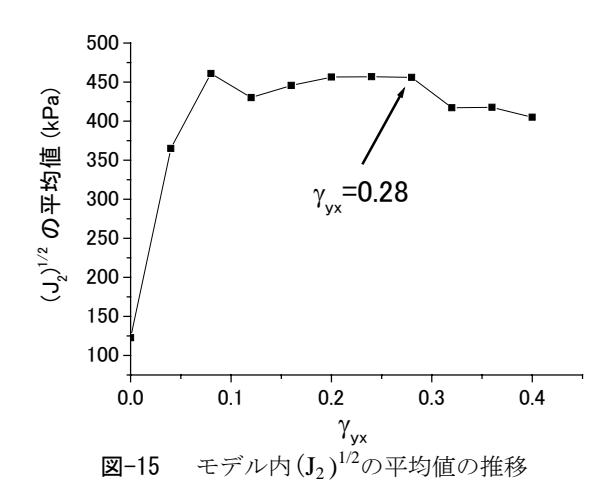


図-14 z=8m の位置での平均応力の分布, y<sub>w</sub>=0.20



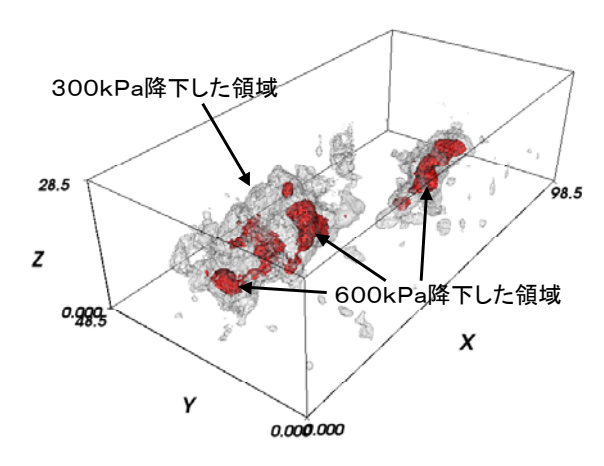


図-16  $(J_2)^{1/2}$ が降下した領域の一例(300, 600kPa)はリーデルせん断帯と考えられる一次的せん断帯お

よび二次的せん断帯の形成を再現することができた. 一次的せん断帯については、三次元的な分布形態を明らかにした.この時、偏差応力の第二不変量が一次的せん断帯近傍で小さくなること(平均値の1.3倍程度)を示した.同様に、平均応力の分布を示し、一次的せん断帯付近で拘束圧が他の領域に比べ小さくなることを示し、この領域で地盤沈下が生じているという結果を得た.逆に、拘束圧が大きい領域の 上方では、地盤が降起していることがわかった.

今回のシミュレーションでは、実験で観察されるスプレーせん断帯や、共役リーデルせん断帯、主変位せん断帯などのモードを再現できていない.この理由は解析モデルに与えたせん断変位量がまだ十分ではないこと、および粒子数が十分ではなく、モデルの規模が小さいためであると考えられる.

今後は今回のモデルをさらにせん断することからはじめ、横ずれ断層の最終形態である主変位せん断帯が再現できるかどうかを検討し、次にモデルの大規模化を図る。モデルの規模を大きくするための具体策として、大型計算機の使用やPCのクラスタリングが挙げられる。

なお、今回の数値解析は、Intel Xeon 3.06GHzプロセッサを搭載するPC(OS, redhat Linux8)で、 40万ステップの計算を行うのに8日程度の時間を要した。また、計算中の消費メモリは約580MBであった。

紙面の都合上、計算結果の全てを掲載することはできないが、今回の計算結果から地表面が変形していくアニメーション、およびひずみの等値面を回転させ、様々な方向から観察するアニメーションを作成し、以下のURLに置いた、是非ダウンロードしていただき、ご高覧を賜りたい。

http://staff.aist.go.jp/h-saomoto/strike/

#### 付録 集合材料としての内部摩擦角

今回用いた粒子の集合材料としての材料特性は本来, 要素試験のシミュレーションを経て得ることが望ま しいが,ここでは,せん断シミュレーション中の応 力状態から粒子集合材料の特性として動員された内 部摩擦角を求めた. モデルの各x, y, z方向中1/3の領 域内に存在する応力評価点にて、せん断中の内部摩 擦角を計算し、横軸に工学ひずみ y vx を、縦軸に動 員された内部摩擦角をとってプロットしたものが 図-17である.このとき、代表体積のサイズを変化 させ,一辺が3m程度以上となる立方体を代表体積 として採用すれば、立方体のサイズによらず図-17 に示したグラフとほとんど変わらなくなることを確 認している. 図-17より, 動員される内部摩擦角は ピーク強度時で平均的に約32度、残留強度状態で平 均的に約25度となっている. 初期状態を除く各時点 で内部摩擦角の最大値は40度程度となっているが、 このような地点では,動的な影響が出ているように 考えられる. そこで、せん断ひずみ速度を求め検討 したが内部摩擦角が大きい箇所でひずみ速度が卓越 しているわけではなかった. また, 地表面に近いと いうことも当てはまらない. モデルが最密配置に近 い状態であるため、集合材料として強いということ が考えられ、吉村が求めたガラスビーズの内部摩擦 角と間隙比の実験結果10)を、本モデルの初期間隙比 0.4まで直線で外挿し、内部摩擦角を求めた、結果 は約42度となり、計算結果の最大値と調和的であっ た. このことから間隙比が極めて小さいために、球 形要素を用いたにも関わらず, 内部摩擦角の最大値 は大きくなったと考えられる.

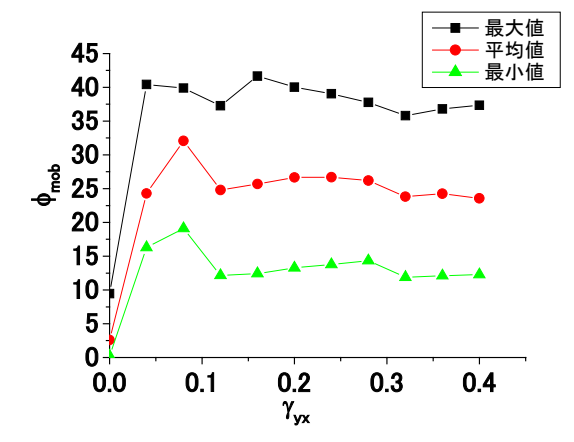


図-17 せん断中の動員された内部摩擦角

#### 参考文献

- 1) 上田圭一,谷和夫:基盤の断層変位に伴う第四紀層及び地表の変形状況の検討(その3)ー横ずれ,斜めずれ断層模型実験ー,電力中央研究所報告U98049,1999.
- 2) 小山良浩,谷和夫:横ずれ断層の模型実験で観察された砂地盤の表面に発達するせん断帯の構造分析,土木学会論文集,No.750/Ⅲ-65,pp.171-181,2003.
- 3) 谷和夫,小山良浩:横ずれ断層の模型実験で観察 された砂地盤の内部に発達するせん断帯の構造分 析,土木学会論文集,No.757/Ⅲ-66,pp.235-246,2004.
- 4) 鬼塚信弘,伯野元彦,鈴木崇伸,岩下和義,堀宗朗:基盤の縦ずれ断層運動に伴う表層地盤の破壊 伝播に関する模型実験,土木学会論文集,No.701/Ⅲ-58,pp.29-38,2002.
- 5) Jea Woo LEE and Masanori HAMADA: AN EXPERI MENTAL STUDY ON EARTHQUAKE FAULT RUPTURE PROPAGATION THROUGH A SANDY DEPOSIT, Strut. Mech Earthquake Eng. JSCS, Vol22, No.1, 1s-13s, 2005.
- 6) 伯野元彦:破壊のシミュレーション-拡張個別要素法で破壊を追う-,森北出版,1997.
- Tchalenko, J.S.: Similarities between shear zones of different magnitudes, Geological Association of America Bulletin, 81, pp. 1625-1640, 1970.
- 8) 狩野謙一,村田明広:構造地質学,朝倉書店,1998.
- 9) 垣見俊弘,加藤碵一:地質構造の解析-理論と実際-,愛智出版,1994.
- 10) 吉村優治: 砂のような粒状体の粒子形状と一次性質, 二次性質に関する研究, 長岡技術科学大学博士論文, p. 71, 1994.

(2005. 3.2 受付)

### DISCRETE ELEMENT SIMULTION OF SHEAR BAND EVOLUTION CAUSED BY STRIKE SLIP FAULTING

#### Hidetaka SAOMOTO, Masayuki YOSHIMI and Sunao KUNIMATSU

Shear band evolution caused by fault movement is a key component in terms of the earthquake hazard mitigation and the estimation of the ground surface rapture. We conducted a three-dimensional discrete element simulation of shear band formation due to strike slip faulting with a large number of particles to quantitatively clarify the strain and stress distributions during the faulting. From the simulation results, A shear band considered as the Riedel shear band having an inflexion along the x, y and z-direction of the model clearly appeared at the ground surface around the peak stage of the macroscopic shear stress acting on the lateral boundary walls. After the first shear band formation, the secondary shear band considered as the P-shear formed almost parallel to the lateral wall. Then, the macroscopic shear stress decreased. This simulation also revealed the stress distributions inside the ground when the foregoing events occurred.